

## ПРОЧНОСТЬ АЛЮМИНИЯ, МЕДИ И СТАЛИ ЗА ФРОНТОМ УВ

*Ю. В. Батьков, Б. Л. Глушак, С. А. Новиков  
(Москва)*

В прикладных задачах движения сплошной среды под воздействием импульсного силового нагружения свойства среды, как правило, трактуются в гидродинамическом приближении, т. е. среда считается изотропной. Результаты экспериментальных исследований показывают, однако, что для твердой фазы за фронтом плоских ударных волн (УВ) в металлах напряженное состояние анизотропно. В этом случае, если рассматривать металлы с позиций модели упругопластической среды, вплоть до состояния плавления главные нормальные напряжения (продольное  $\sigma_x$  в направлении распространения волны и поперечное  $\sigma_y$  или  $\sigma_z$ ) отличаются друг от друга на величину динамического предела текучести  $Y_d$ . Согласно [1, 2], динамический предел текучести вдоль ударной адиабаты — величина непостоянная. Принято считать, что в условиях высокоскоростного деформирования и высокой плотности дислокаций  $Y_d$  зависит от давления  $p$  (или среднего напряжения  $\sigma_i/3$ ) и температуры  $T$  таким образом, что  $Y_d$  растет с  $p$  и падает с  $T$  [1, 2], обращаясь в нуль в состоянии плавления па ударной адиабате.

Переход от упругого состояния в пластическое сопровождается резким изменением кривизны ударной адиабаты в точке, соответствующей упругому пределу Гюгонио  $\sigma_{HE}$ . По традиционным представлениям, при напряжениях ударно-волнового сжатия, превышающих упругий предел Гюгонио, состояние металла отвечает верхней предельной поверхности пластического течения. При расширении ударно-сжатого металла реализуется упругая стадия разгрузки с выходом состояния среды на нижнюю предельную поверхность пластического течения [2].

Для описания упругих свойств веществ из четырех величин, их характеризующих (модуль Юнга  $E$ , модуль объемного сжатия  $K$ , модуль сдвига  $G$  и коэффициент Пуассона  $v$ ), необходимо задать любые две из них. Ни одна из этих величин непосредственно экспериментально в УВ не измеряется. И только результаты измерений упругой и объемной скоростей звука в ударно-сжатом состоянии позволяют, используя основные соотношения теории упругости, вычислить значения  $E$ ,  $K$ ,  $G$  и  $v$ , выявить их поведение вдоль ударной адиабаты и, следовательно, в полной мере охарактеризовать упругие свойства металлов в ударно-сжатом состоянии. Такая процедура при ограниченности экспериментальной информации выполнена в [2]. Учет прочностных свойств среды имеет значение для метрологических целей, а также при исследовании уравнения состояния металла в твердой фазе и решении прикладных задач распространения УВ. Реальные реологические свойства металлов при высоких давлениях и значительных температурах представляют самостоятельный интерес для техники и физики твердого тела.

Реологические свойства металлов в УВ исследуются методом «догоняющей разгрузки» [3], «самосогласованным» методом [4] и т. д. Особое место занимает прямая регистрация в одном опыте главных нормальных напряжений ( $\sigma_x$ ,  $\sigma_y$ ) в двух взаимно перпендикулярных плоскостях в исследуемом образце [5]. Этот метод применен в настоящей работе для исследования сдвиговой прочности меди, технического алюминия АД1, алюминиевого сплава АМгб и стали Ст. 3 в ударных волнах.

### Техника эксперимента и результаты измерений

Схема постановки экспериментов приведена на рис. 1. Напряжения регистрировали манганиновыми датчиками (мангандин МНМц 3-12) П-образной формы из проволоки диаметром 0,05 мм или ленты шириной 126

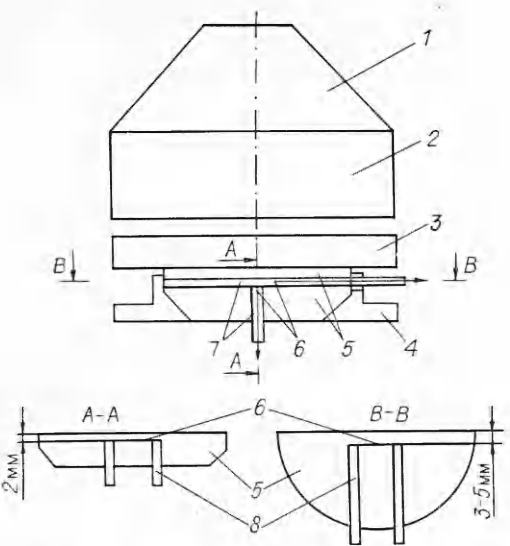


Рис. 1. Схема постановки экспериментов по измерению главных напряжений.

1 — плосковолновая линза; 2 — заряд ВВ; 3 — экран; 4 — прижим; 5 — элементы образца; 6 — чувствительный элемент датчика; 7 — изоляция; 8 — выводы датчика.

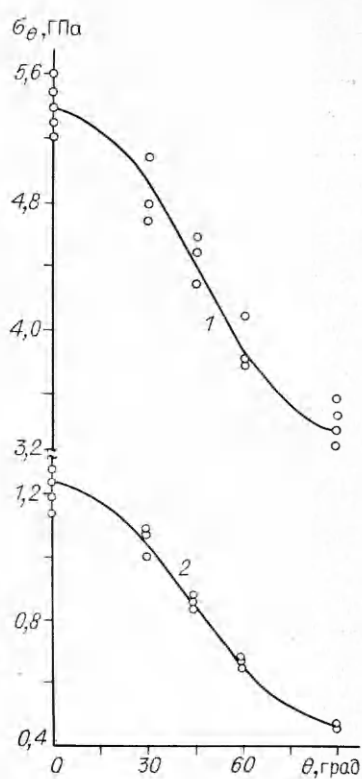


Рис. 2. Зависимости нормального напряжения в Ст.З  $\sigma_\theta$  от угла установки  $\theta$  датчиков относительно фронта УВ в упругой (2) и упругопластической (1) областях течения.

$\sim 0,2$  и толщиной  $\sim 0,02$  мм. Датчик помещали в тонкую изолирующую среду (лавсан, фторопласт, слюда), суммарная толщина датчиков, включая слои изоляции,  $0,20\text{--}0,25$  мм. Длина чувствительного элемента датчика составляла  $16\text{--}20$  мм. Ряд других деталей постановки экспериментов подробно описан в [6]. Там же приведены характерные осциллограммы записей сигналов с датчиков. Амплитудные значения напряжений  $\sigma_x$  и  $\sigma_y$  находили по единой калибровочной зависимости напряжения  $\sigma_i$  от относительного изменения сопротивления  $\Delta R/R$  чувствительного элемента для датчиков обоих типов [7]

$$\sigma_i = 34,5(\Delta R/R) + 7,5(\Delta R/R)^2 \text{ ГПа},$$

справедливой в диапазоне  $1 \text{ ГПа} \leq \sigma_x \leq 45 \text{ ГПа}$ . Суммарная относительная погрешность определения величин  $\sigma_x$  и  $\sigma_y$  в единичном опыте с надежностью 0,95 составляла  $\pm 8\%$ . Опыты проводили на образцах диаметром  $50 \div 90$  мм и толщиной  $8 \div 30$  мм.

Плоские УВ в образцах генерировались с помощью взрывных контактных устройств с известными параметрами УВ в экранах из меди, алюминия и стали. Длительность стационарного течения за фронтом УВ (длительность прямоугольного профиля  $\sigma_x$ ) равнялась  $1\text{--}3$  мкс, чего достаточно для надежной регистрации значений  $\sigma_x$  и  $\sigma_y$  в стационарном режиме течения. Полученные в опытах величины  $\sigma_x$  в образцах в пределах погрешности определения совпадают с  $\sigma_x$ , вычисленными при решении задачи о распаде произвольного разрыва. Специально поставленные опыты на Ст. 3 показали, что датчики с различной формой чувствительного элемента (проволока, лента) дают в пределах погрешности измерения идентичные результаты для величины  $\sigma_y$ . В экспериментах на Ст. 3 измерялись напряжения  $\sigma_\theta$  по нормали к сечениям, ориентированным под углом  $\theta$  к плоскости фронта УВ ( $\theta = 30^\circ, 45^\circ$  и  $60^\circ$ ).

Таблица 1

Результаты измерений  $\sigma_x$ ,  $\sigma_y$  (ГПа) в металлах

$\sigma_x$	$\sigma_y$	$\sigma_x$	$\sigma_y$	$\sigma_x$	$\sigma_y$	$\sigma_x$	$\sigma_y$	$\sigma_x$	$\sigma_y$
M1		Ст. 3 (отжиг)		Ст. 3 (отжиг)		АМг6		АД1	
2,20	1,80	4,65	3,10	10,20	6,40	2,00	1,80	7,10	5,80
2,60	2,10	4,58	3,20	10,20	7,20	4,20	3,90	7,80	6,40
6,20	5,20	5,20	3,60	10,30	8,60	4,90	4,50	8,30	6,80
6,80	6,00	5,20	3,50	12,80	8,90	7,80	7,20	11,70	10,40
10,50	9,00	5,40	3,20	13,20	9,20	7,20	6,60	11,60	7,50
11,50	9,80	5,30	3,60	13,20	9,70	13,80	12,00	11,50	9,50
15,00	13,00	5,60	3,40	17,00	11,60	12,60	12,00	12,00	9,00
14,00	12,50	5,30	3,40	14,40	12,20	21,00	20,00	11,50	9,50
14,30	12,40	5,20	3,30	18,10	12,70	21,20	20,30	12,80	11,20
13,80	11,70	6,60	4,40	18,30	11,90	АД1		13,40	10,40
13,20	11,50	6,20	4,10	23,50	16,50	АД1		21,00	19,00
14,00	11,50	6,40	4,20	24,50	17,00	3,70	3,20	22,00	20,30
22,00	19,00	6,50	4,50	23,80	16,00	3,80	3,20		
25,00	22,00	8,30	5,80	25,00	16,50	3,90	3,40		
24,00	20,50	9,30	6,50			3,60	3,20		

Результаты определения  $\sigma_x$ ,  $\sigma_y$  в металлах представлены в табл. 1. В исследованной области напряжений связь между  $\sigma_x$ ,  $\sigma_y$  может быть описана линейными соотношениями ( $\sigma_x$  и  $\sigma_y$  выражаются в ГПа).

Медь M1:  $2,2 \leq \sigma_x \leq 22$ ,  $\sigma_y = (11,20 \pm 0,30) + (0,86 \pm 0,04)(\sigma_x - 13,00)$ ,

Ст. 3:  $1,3 \leq \sigma_x \leq 25$ ,  $\sigma_y = (6,71 \pm 0,10) + (0,69 \pm 0,02)(\sigma_x - 9,94)$ ,

АМг6:  $2 \leq \sigma_x \leq 21$ ,  $\sigma_y = (9,92 \pm 0,12) + (0,96 \pm 0,02)(\sigma_x - 10,52)$ ,

АД1:  $3,7 \leq \sigma_x \leq 22$ ,  $\sigma_y = (8,55 \pm 0,50) + (0,90 \pm 0,09)(\sigma_x - 10,16)$ .

Для Ст. 3 при вычислении  $\sigma_y$ ,  $\sigma_x$  использованы также данные табл. 2, где амплитуда  $\sigma_x$  соответствует упругому предвестнику по амплитуде  $\sigma_x = \sigma_{HE}$ . Здесь же приведены вычисленные из экспериментальных данных по соотношению  $\sigma_y = v/(1-v) \cdot \sigma_x$  значения  $v$ . Средние опытные величины  $\langle v \rangle = 0,28$  и  $0,30$  для Ст.3 и стали 30ХГСА совпадают со значением  $v$  из [8]. Средние величины  $\sigma_x = \sigma_{HE} = 1,23$  и  $1,87$  ГПа для Ст.3 и стали 30ХГСА, согласуются с данными, полученными методом емкостного датчика [9]:  $\sigma_{HE} = 1,2$  и  $1,98$  ГПа для Ст. 3 и стали 30ХГСА соответственно.

Результаты измерений нормальных напряжений  $\sigma_\theta$  приведены на рис. 2. Совокупность экспериментальных точек хорошо описывается теоретической зависимостью [10]

$$\sigma_\theta = \frac{\sigma_x + \sigma_y}{2} \pm \frac{\sigma_x - \sigma_y}{2} \cos 2\theta$$

в упругой и упругопластической областях течения.

Таблица 2

Материал	$\sigma_x$ , ГПа	$\sigma_y$ , ГПа	$v$
Ст.3 (отжиг)	1,27	0,49	0,28
	1,26	0,48	0,28
	1,28	0,48	0,27
	1,18	0,48	0,29
	1,15	0,49	0,30
30ХГСА (отжиг)	1,97	0,86	0,30
	1,95	0,85	0,30
	1,80	0,75	0,29
	1,85	0,78	0,30
	1,78	0,75	0,29
	1,87	0,82	0,31

## Обобщенный анализ экспериментальных результатов

При построении модели поведения вещества в условиях силового воздействия принято разделять напряжение на шаровую (давление  $p$ ) и девиаторную составляющие. По установленным представлениям, при одномерной деформации в плоских УВ

$$\sigma_x = p + 2/3 \cdot Y_d, \quad \sigma_y = p - 1/3 \cdot Y_d, \quad p = 1/3 \cdot (\sigma_x + 2\sigma_y).$$

В обычных экспериментах с плоскими УВ непосредственно регистрируется только  $\sigma_x$ . Результаты измерений главных напряжений  $\sigma_x, \sigma_y$  позволяют без обращения к дополнительной информации вычислить  $Y_d = \sigma_x - \sigma_y$ . На рис. 3 нанесены экспериментальные точки для меди и АМг6, полученные в настоящей работе, а также данные других работ. Для меди положение точек из [1] скорректировано в соответствии с полученной в настоящей работе зависимостью  $v(\sigma_x)$  (рис. 4). Как видно из рис. 3, *a*, для меди наблюдается заметное расхождение между экспериментальными точками, полученными разными авторами, что, по-видимому, объясняется прежде всего различной точностью определения  $Y_d$  разнообразными экспериментальными методами. Указанное обстоятельство, хотя и в меньшей степени, относится также и к алюминию. Номинальная зависимость  $Y_d(\sigma_x)$  для технически чистого алюминия (АД1) располагается выше совокупности других экспериментальных точек (см. рис. 3, *b*). Однако в пределах погрешности определения она не противоречит данным [14]. В дальнейшем, имея в виду работу [14], в которой указывается, что с ростом давления происходит нивелирование различий в сопротивлении пластической деформации разных сплавов алюминия, не будем делать различия между технически чистым алюминием и сплавами алюминия и объединим их одним названием алюминий.

На рис. 3 приведены усредненные зависимости  $Y_d(\sigma_x)$ , используемые для дальнейшего анализа. При этом предполагалось, что в состоянии плавления на ударной волне  $Y_d = 0$ . Для меди  $(\sigma_x)_{пл} = 205$  ГПа [15], а для алюминия  $(\sigma_x)_{пл} = 150$  ГПа. Представленные зависимости  $Y_d(\sigma_x)$  имеют колоколообразный вид с достаточно резко выраженным максимумом. В исследованных металлах своей максимальной величины динамический предел достигает задолго до состояния плавления на УВ:

$$(\sigma_x)_{Y_{max}} \approx (0.3 - 0.4)(\sigma_x)_{пл}.$$

Согласно [17], условный предел текучести при сжатии в квазистатических условиях (скорость деформации  $\dot{\varepsilon} = 2 \cdot 10^{-3}$  1/с) равен 290 и 205 МПа для меди и АМг6. Таким образом, сдвиговая прочность этих металлов в УВ примерно в 10 раз превосходит прочность в квазистатических условиях нагружения. Отметим, что вычисленные для меди по

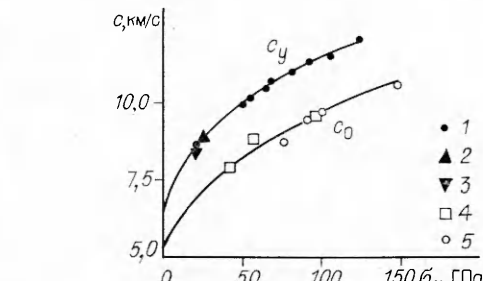
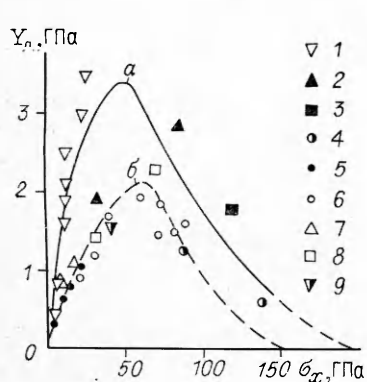


Рис. 4. Зависимости упругой и объемной скоростей звука от  $\sigma_x$  для алюминия.  
1, 5 — [20]; 2 — [12]; 3, 4 — [3].

Рис. 3. Зависимость динамического предела текучести  $Y_d(\sigma_x)$  для меди (*a*) и алюминия (*b*).

1, 5 — (AMg6) — настоящая работа; 2 — [1]; 3 — [2]; 4, 6 — [11]; 7 — [14]; 8 — [1]; 9 — [13].

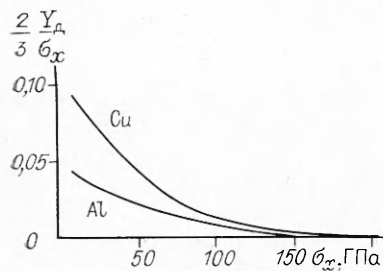


Рис. 5. Зависимость  $2/3 Y_d/\sigma_x(\sigma_x)$ .

фактором является давление, а  $Y_d$  примерно линейно повышается с  $\sigma_x$ . С дальнейшим повышением величины  $\sigma_x$  прогрессирующую роль начинает играть приращение температуры, которое быстро увеличивается вдоль ударной адиабаты. Начиная с некоторого значения  $\sigma_x$  температурная зависимость становится главной и  $Y_d$  уменьшается с ростом  $\sigma_x$ .

Примем в качестве характеристики негидростатичности напряженного состояния отношение  $2/3 Y_d/\sigma_x$ . Зависимости  $2/3 Y_d/\sigma_x(\sigma_x)$  на рис. 5 показывают, что негидростатичность напряженного состояния убывает с ростом  $\sigma_x$ , для Cu и для алюминиевых сплавов АМгб становится малой при  $\sigma_x \geq 80 \div 100$  ГПа. При меньших  $\sigma_x$  отклонения от гидростатичности составляют заметную величину. Величина  $2/3 Y_d/\sigma_x$  за фронтом плоской УВ в Cu проявляется в большей степени, чем в Al. В области  $\sigma_x \approx 5 \div 25$  ГПа в Ст. 3 негидростатичность напряженного состояния значительно выше по сравнению с медью: в Ст. 3  $2/3 Y_d/\sigma_x \approx 0,2$ .

Определим далее поведение коэффициента Пуассона  $\nu$  и модуля сдвига  $G$  вдоль ударной адиабаты, используя опубликованные результаты измерений упругой  $c_y$  и объемной  $c_o$  скоростей звука в ударно-сжатых меди и алюминии. Из основных соотношений теории упругости следует

$$\nu = \frac{3 - (c_y/c_0)^2}{3 + (c_y/c_0)^2}, \quad G = \frac{E}{2(1 + \nu)},$$

$$E = \rho \frac{c_y^2 (1 - 2\nu) (1 + \nu)}{1 - \nu} = 3\rho c_0^2 (1 - 2\nu).$$

Процедура вычислений заключалась в следующем. Результаты измерений  $c_y$  представлялись в плоскости  $c_y^* - u$ , где  $c_y^*$  — лагранжева упругая скорость звука;  $u$  — массовая скорость за фронтом УВ. Параметры УВ находились по наиболее вероятному  $D - u$ -соотношению для Cu и Al из [19]. В указанной выше системе координат, как отмечалось в [21], для твердой фазы  $c_y^*$  оказывается линейной функцией  $u$ . Обработка экспериментальных данных дает следующие аналитические выражения:  $c_y^* = 6,30 + 3,20u$  (км/с) —  $u = 4,20$  км/с для алюминия и  $c_y^* = 4,60 + 3,30u$  (км/с) —  $u = 2,30$  км/с для меди.

Обратным пересчетом определялась зависимость  $c_y(\sigma_x)$ . Результаты измерений  $c_o$  представлялись плавной функцией  $\sigma_x$ . Полученные таким образом величины  $c_y(\sigma_x)$  и  $c_o(\sigma_x)$  использовались для дальнейших вычислений (см. рис. 4).

На рис. 6 представлены вычисленные по  $c_y(\sigma_x)$  и  $c_o(\sigma_x)$  зависимости коэффициента  $\nu$  вдоль ударной адиабаты и нанесены расчетные точки по результатам прямых измерений  $c_y$  и  $c_{pl}$  при задании  $\sigma_x$ . В большей части диапазона напряжений от  $\sigma_x = 0$  до  $\sigma_x = \sigma_{x,pl}$  ( $\sigma_x \leq 110$  и 140 ГПа в алюминии и меди соответственно) величина  $\nu$  растет сравнительно слабо, примерно по линейному закону с повышением  $\sigma_x$ . Выше указанных значений наблюдается резкое возрастание  $\nu$ , становящейся равной 0,5 в состоянии полного плавления на УВ. Для Al зависимость  $\nu(\sigma_x)$  прослеживается по опытным данным ( $c_y$ ,  $c_o$ ) практически до состояния плавления.

предложеному в [18] выражению значения  $Y_d$  оказываются в исследованном в данной работе диапазоне  $\sigma_x$  в  $\sim 2$  раза меньшими, чем следует из рис. 3.

Считаем, следуя [1, 2], что динамический предел текучести в ударно-сжатом металле зависит от  $p$  и  $T$  (или удельной тепловой энергии  $\varepsilon_t$ ) таким образом, что  $Y_d$  растет с  $p$  и падает с  $T$  (или  $\varepsilon_t$ ). Линейность зависимости  $\sigma_y(\sigma_x)$  показывает, что на восходящей ветви  $Y_d(\sigma_x)$  до  $\sigma_x = 40$  ГПа в Cu и Al определяющим

фактором является давление, а  $Y_d$  примерно линейно повышается с  $p$ . С дальнейшим повышением величины  $\sigma_x$  прогрессирующую роль начинает играть приращение температуры, которое быстро увеличивается вдоль ударной адиабаты. Начиная с некоторого значения  $\sigma_x$  температурная зависимость становится главной и  $Y_d$  уменьшается с ростом  $\sigma_x$ . Примем в качестве характеристики негидростатичности напряженного состояния отношение  $2/3 Y_d/\sigma_x$ . Зависимости  $2/3 Y_d/\sigma_x(\sigma_x)$  на рис. 5 показывают, что негидростатичность напряженного состояния убывает с ростом  $\sigma_x$ , для Cu и для алюминиевых сплавов АМгб становится малой при  $\sigma_x \geq 80 \div 100$  ГПа. При меньших  $\sigma_x$  отклонения от гидростатичности составляют заметную величину. Величина  $2/3 Y_d/\sigma_x$  за фронтом плоской УВ в Cu проявляется в большей степени, чем в Al. В области  $\sigma_x \approx 5 \div 25$  ГПа в Ст. 3 негидростатичность напряженного состояния значительно выше по сравнению с медью: в Ст. 3  $2/3 Y_d/\sigma_x \approx 0,2$ .

Определим далее поведение коэффициента Пуассона  $\nu$  и модуля сдвига  $G$  вдоль ударной адиабаты, используя опубликованные результаты измерений упругой  $c_y$  и объемной  $c_o$  скоростей звука в ударно-сжатых меди и алюминии. Из основных соотношений теории упругости следует

$$\nu = \frac{3 - (c_y/c_0)^2}{3 + (c_y/c_0)^2}, \quad G = \frac{E}{2(1 + \nu)},$$

$$E = \rho \frac{c_y^2 (1 - 2\nu) (1 + \nu)}{1 - \nu} = 3\rho c_0^2 (1 - 2\nu).$$

Процедура вычислений заключалась в следующем. Результаты измерений  $c_y$  представлялись в плоскости  $c_y^* - u$ , где  $c_y^*$  — лагранжева упругая скорость звука;  $u$  — массовая скорость за фронтом УВ. Параметры УВ находились по наиболее вероятному  $D - u$ -соотношению для Cu и Al из [19]. В указанной выше системе координат, как отмечалось в [21], для твердой фазы  $c_y^*$  оказывается линейной функцией  $u$ . Обработка экспериментальных данных дает следующие аналитические выражения:  $c_y^* = 6,30 + 3,20u$  (км/с) —  $u = 4,20$  км/с для алюминия и  $c_y^* = 4,60 + 3,30u$  (км/с) —  $u = 2,30$  км/с для меди.

Обратным пересчетом определялась зависимость  $c_y(\sigma_x)$ . Результаты измерений  $c_o$  представлялись плавной функцией  $\sigma_x$ . Полученные таким образом величины  $c_y(\sigma_x)$  и  $c_o(\sigma_x)$  использовались для дальнейших вычислений (см. рис. 4).

На рис. 6 представлены вычисленные по  $c_y(\sigma_x)$  и  $c_o(\sigma_x)$  зависимости коэффициента  $\nu$  вдоль ударной адиабаты и нанесены расчетные точки по результатам прямых измерений  $c_y$  и  $c_{pl}$  при задании  $\sigma_x$ . В большей части диапазона напряжений от  $\sigma_x = 0$  до  $\sigma_x = \sigma_{x,pl}$  ( $\sigma_x \leq 110$  и 140 ГПа в алюминии и меди соответственно) величина  $\nu$  растет сравнительно слабо, примерно по линейному закону с повышением  $\sigma_x$ . Выше указанных значений наблюдается резкое возрастание  $\nu$ , становящейся равной 0,5 в состоянии полного плавления на УВ. Для Al зависимость  $\nu(\sigma_x)$  прослеживается по опытным данным ( $c_y$ ,  $c_o$ ) практически до состояния плавления.

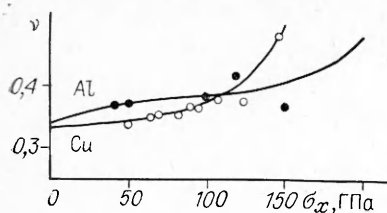


Рис. 6. Зависимость  $v(\sigma_x)$ .

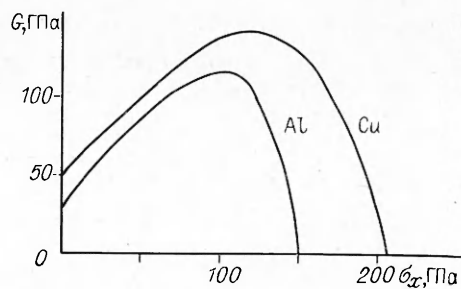


Рис. 7. Зависимость  $G(\sigma_x)$ .

Вычисленные зависимости  $G(\sigma_x)$  вдоль ударной адиабаты (рис. 7), как и  $Y_d(\sigma_x)$ , имеют восходящую и нисходящую ветви с максимумом при  $\sigma_x \approx 100$  ГПа в Al и  $\approx 130$  ГПа в Cu. Максимальная величина  $G$  превышает свое значение при нормальных условиях в  $\sim 4$  раза в алюминии и в  $\sim 3$  раза в меди. Из сравнения рис. 3 и 7 видно, что положение максимума зависимости  $G(\sigma_x)$  для Al и Cu заметно сдвинуто в сторону больших значений  $\sigma_x$  по сравнению с положением максимумов зависимости  $Y_d(\sigma_x)$ . Подобное взаимное положение максимумов для меди отмечалось в [2]. Из рис. 3 и 7 следует, что  $Y_d$  растет с увеличением  $\sigma_x$  (а также с  $p$ ) значительно быстрее, чем модуль сдвига.

Подведем итоги проведенной работы. В исследованиях сжимаемости твердых тел методом УВ экспериментально определяется нормальная составляющая напряжения  $\sigma_x$ . Традиционно при использовании результатов, полученных этим методом для построения уравнения состояния твердых тел в области высоких плотностей и температур, прочностные эффекты не учитываются, т. е. напряжение  $\sigma_x$  отождествляется с давлением  $p$ . Экспериментальные результаты (независимо от примененных методов) свидетельствуют, однако, что за фронтом плоской УВ напряженное состояние анизотропно даже при весьма высоких напряжениях. Девиаторная составляющая напряжения, равная  $2/3 Y_d$ , в области  $\sigma_x \leq 100$  ГПа в меди и алюминии составляет заметную величину и тем большую, чем меньше  $\sigma_x$ . Это обстоятельство следует иметь в виду при использовании результатов исследования ударно-волновой сжимаемости для отыскания параметров уравнения состояния и построения моделей поведения твердого тела при высокоскоростном деформировании. Представленные в настоящей работе зависимости  $Y_d(\sigma_x)$ ,  $v(\sigma_x)$  и  $G(\sigma_x)$  характеризуют прочностные и упругие свойства меди и алюминия в УВ. Совместно с напряжением  $\sigma_x$  на упругом предвестнике и ударной адиабатой этих веществ, представленной, например, в [19] в виде наиболее вероятного  $D - \sigma$ -соотношения, они дают достаточную информацию для построения определяющего уравнения, описывающего ударную адиабату. Заметим, что прочностные эффекты в меди оказываются более значительными по сравнению с аналогичными эффектами в алюминии (см. рис. 5).

Имеющаяся экспериментальная информация свидетельствует о сложном реологическом поведении металлов, зависящем в том числе от реальных условий нагружения. Поэтому результаты настоящей работы могут применяться в случае ударно-волнового нагружения, а также в близких условиях нагружения.

#### ЛИТЕРАТУРА

1. Новиков С. А., Синицына Л. М. ПМТФ, 1970, 6, 107.
2. Альтшулер Л. В., Бражник М. И., Телегин Г. С. ПМТФ, 1971, 6, 159.
3. Альтшулер Л. В., Кормер С. Б., Бражник М. И. и др. ЖЭТФ, 1960, 38, 4, 1061.
4. Asay I. B., Lipkin I. J. Appl. Phys., 1978, 49, 7.
5. Bernstein D., Godfrey C., Klein A. et al. // Behaviour of Dense Media Under High Dynamic Pressures.— N. Y.: Gordon and Breach, 1968.

6. Батьков Ю. В., Новиков С. А., Синицына Л. М. и др. Проблемы прочности, 1981, 5, 56.
7. Анианян А. В., Дремин А. Н., Канель Г. И. ФГВ, 1973, 9, 3, 437.
8. Авиационные материалы: Справочник в девяти томах/Под ред. А. Т. Тумапова.— М.: ОНТИ, 1975.— Т. 1.
9. Иванов А. Г., Новиков С. А., Синицын В. А. ФТТ, 1963, 5, 1, 269.
10. Работнов Ю. И. Механика деформируемого твердого тела.— М.: Наука, 1979.
11. Morris C. E., Fritz J. N., Holian B. L. // Shock Waves in Condensed Matter, 1981.— N. Y., 1982.
12. Curran D. R. J. Appl. Phys., 1963, 34, 9.
13. Бордзиловский С. А., Карабанов С. М. ФГВ, 1986, 22, 3, 131.
14. Дремин А. Н., Канель Г. И., Черникова О. Б. ПМТФ, 1981, 4, 132.
15. Урлин В. Д. ЖЭТФ, 1965, 49, 2(8).
16. Ross M. // Shock Waves in Condensed Matter, 1983.— Amsterdam, 1984.
17. Большаков А. П., Новиков С. А., Синицын В. А. Проблемы прочности, 1979, 10, 87.
18. Steinberg D. J., Cochram S. Y., Guinan' H. G. J. Appl. Phys., 1980, 51, 3, 1498.
19. Альтшуллер Л. В., Баканова А. А., Дудоладов И. П. и др. ПМТФ, 1981, 2, 3.
20. McQueen R., Fritz J. N., Morris C. E. // Shock Waves in Condensed Matter, 1983.— Amsterdam, 1984.
21. Воробьев А. А., Дремин А. И., Канель Г. И. ПМТФ, 1974, 5, 94.

Поступила в редакцию 4/II 1988

УДК 536.46

## АСИМПТОТИЧЕСКОЕ ПОВЕДЕНИЕ СКОРОСТИ ГОРЕНИЯ КОНДЕНСИРОВАННЫХ СИСТЕМ ПРИ МАЛЫХ ВОЗМУЩЕНИЯХ

*A. B. Кискин, B. B. Новожилов*

(Новосибирск, Москва)

Задачу от асимптотическом поведении нестационарной скорости горения в результате малого возмущения температурного профиля стационарно горящей газифицирующейся конденсированной системы (к-системы) будем рассматривать в рамках феноменологической теории нестационарного горения [1]. Эта проблема рассматривалась в [1—3]. Методом гармонического анализа получены [1] граници колебательных режимов горения и устойчивости стационарного горения. В [2, 3] для решения использован операционный метод, позволяющий найти решение во всей области определяющих параметров  $k$ ,  $r$ . Однако в [2] определена только граница устойчивости, а в [3] приведено ошибочное решение линейного дифференциального уравнения, описывающего эволюцию возмущения. По этой причине результаты анализа асимптотического поведения возмущения скорости горения [3] неверны.

Исследование характера отклика скорости горения на воздействие малого возмущения будем проводить в линейном приближении. Считаем, что к начальному моменту времени действие возмущающего фактора закончилось и выражается в малых отклонениях температурного распределения в к-фазе и скорости горения от стационарного состояния. Тогда поведение нестационарной скорости горения можно описать следующей системой уравнений в безразмерных переменных (давление и другие внешние факторы постоянны):

$$\begin{aligned} \frac{\partial \Theta}{\partial \tau} - v \frac{\partial \Theta}{\partial \xi} &= \frac{\partial^2 \Theta}{\partial \xi^2}, \quad 0 < \xi < \infty, \\ \Theta(\infty, \tau) &= \Theta_0 = 0, \\ \Theta_s &= \Theta_s(\varphi), \quad v = v(\varphi), \quad \varphi = -\frac{\partial \Theta}{\partial \xi}(0, \tau), \\ \Theta(\xi, 0) &= \Theta e^{0-\xi}. \end{aligned} \tag{1}$$

Здесь  $\Theta$  — температура к-фазы;  $v$  — скорость горения;  $\xi$  — пространственная координата;  $\tau$  — время. Индексы:  $s$  — поверхностный; 0 — ниж-